



Localización I: predicción de pose mediante dead-reckoning

MT3006 - Robótica 2



¿Qué estamos buscando?

navegación =
localización + mapeo + planificación



navegación =

localización + mapeo + planificación



≡ estimación de pose

navegación =

localización + mapeo + planificación



≡ **estimación** de pose

predicción + corrección

predicción de pose empleando dead-
reckoning

Dead-reckoning

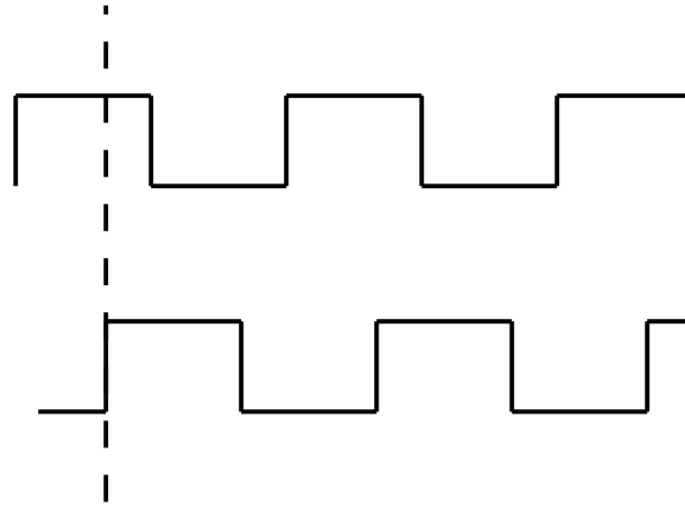
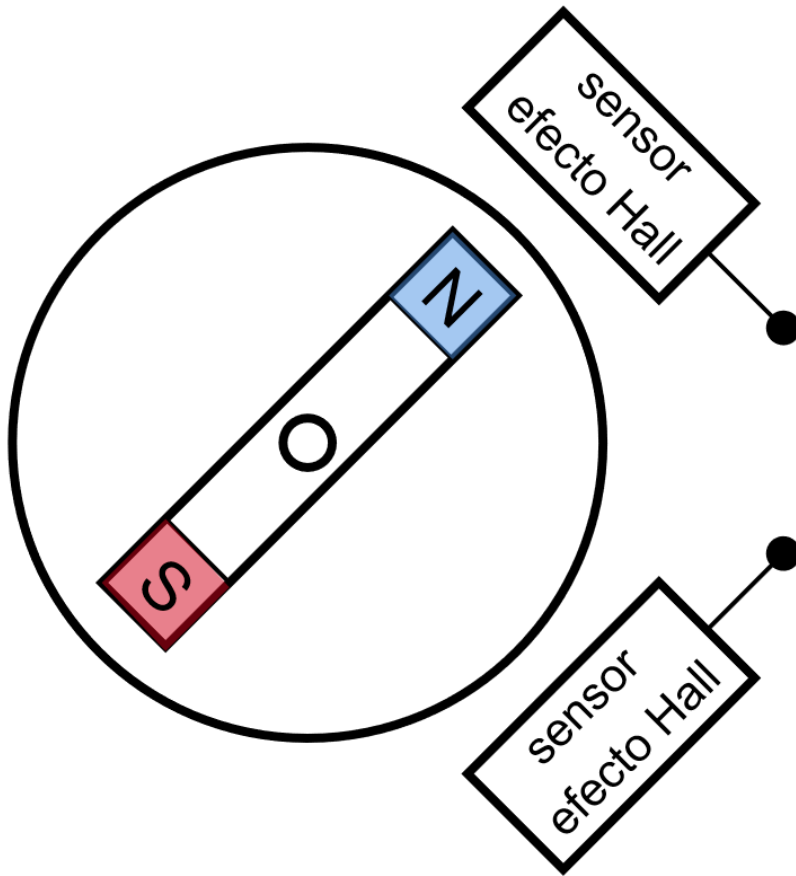
≡ **integración** de recorrido

emplea la combinación de una posición (o pose) previamente determinada junto a un estimado de la velocidad (o aceleración) del robot para estimar la posición (o pose) actual del mismo

Odometría para robots con ruedas

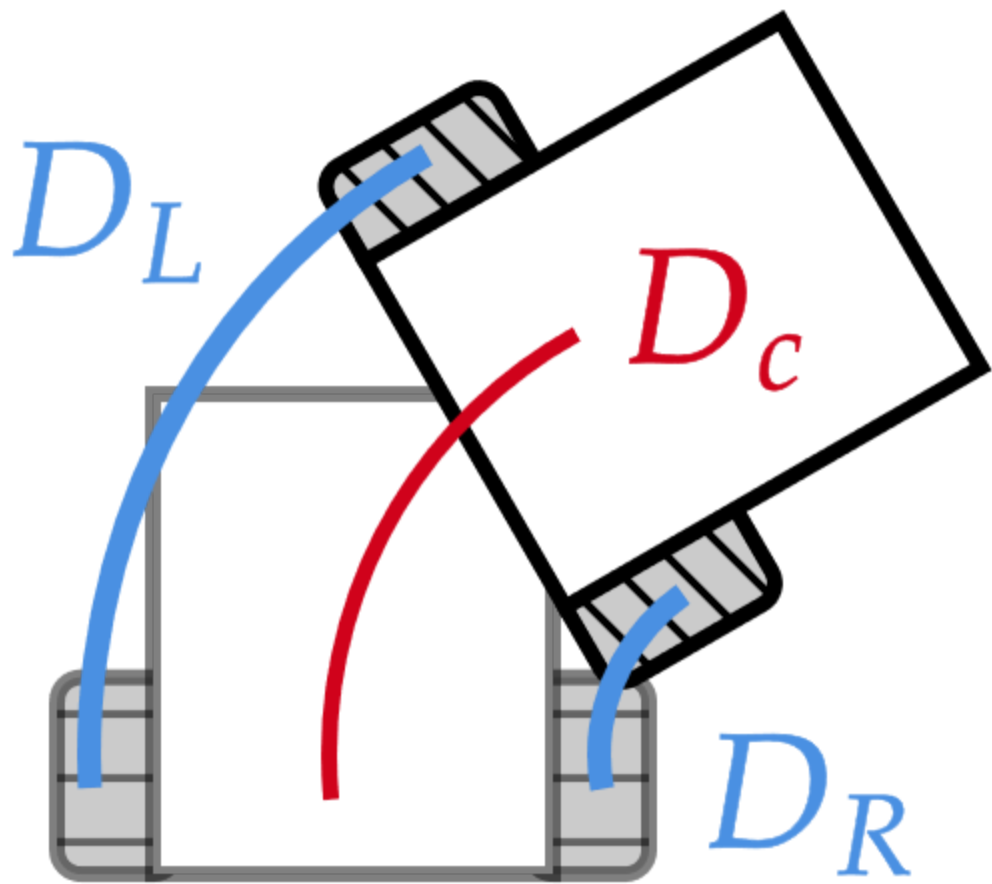


Odometría para robots con ruedas



encoder rotacional magnético





$$D_L = r\theta_L = 2\pi r \frac{\Delta \text{tick}_L}{N}$$

$$D_R = r\theta_R = 2\pi r \frac{\Delta \text{tick}_R}{N}$$

$$D_c = \frac{D_R + D_L}{2} \triangleq \delta_\rho$$

$$\delta_\theta = \frac{D_R - D_L}{\ell}$$

r : radio de la rueda

ℓ : distancia entre ruedas

Δtick_R : conteo diferencial de "muescas"

N : número de "muescas" por revolución (debe tomar en consideración la caja reductora)

δ_ρ : distancia lineal recorrida

δ_θ : distancia angular recorrida

$${}^N\boldsymbol{\xi} = \begin{bmatrix} x \\ y \\ \theta \end{bmatrix} \triangleq \begin{bmatrix} \xi_1 \\ \xi_2 \\ \xi_3 \end{bmatrix}$$

$${}^N\boldsymbol{\xi}_{k+1} = {}^N\boldsymbol{\xi}_k + \begin{bmatrix} \delta_\rho \cos(\xi_{3,k}) \\ \delta_\rho \sin(\xi_{3,k}) \\ \delta_\theta \end{bmatrix}$$

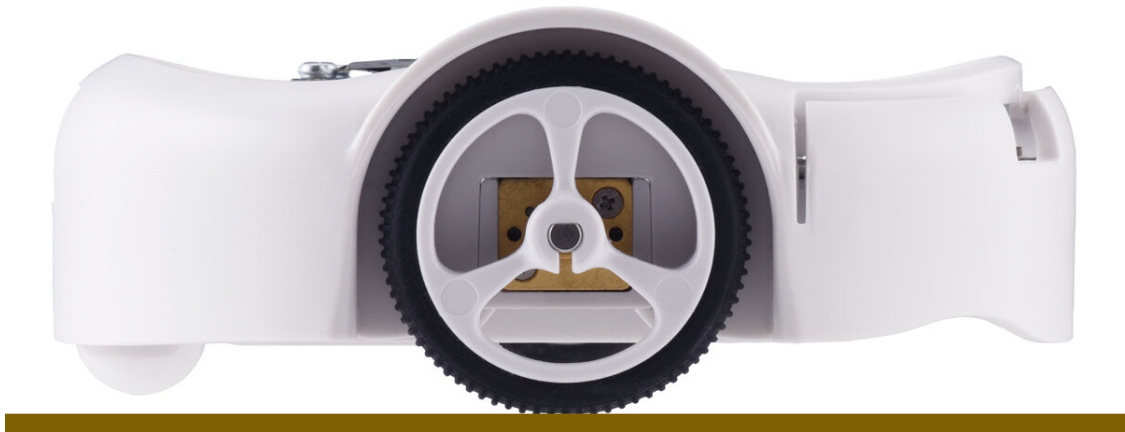
$${}^N \boldsymbol{\xi} = \begin{bmatrix} x \\ y \\ \theta \end{bmatrix} \triangleq \begin{bmatrix} \xi_1 \\ \xi_2 \\ \xi_3 \end{bmatrix}$$

¿Problema?

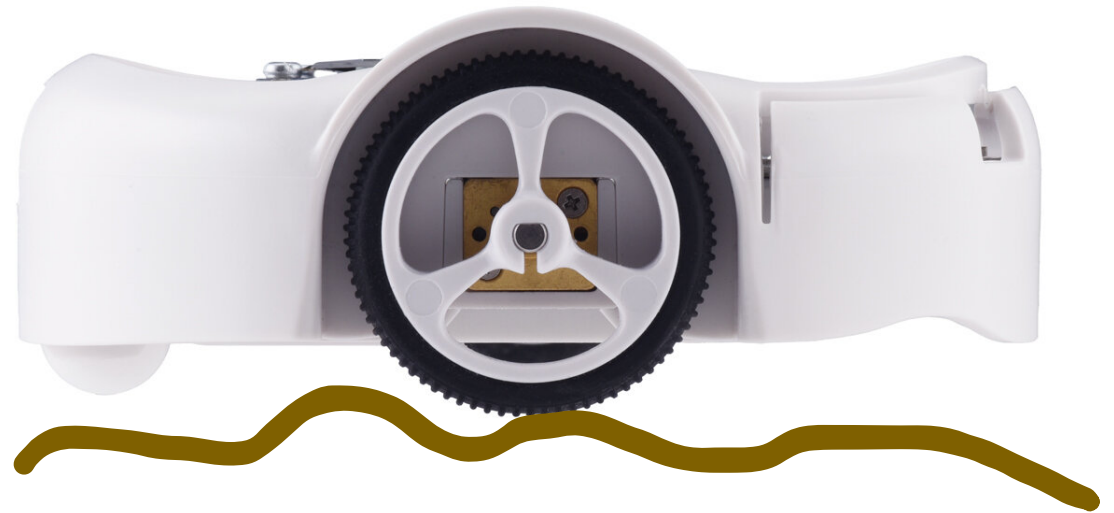
NO estamos tomando en consideración
el posible **drift** en los encoders

$${}^N \boldsymbol{\xi}_{k+1} = {}^N \boldsymbol{\xi}_k + \begin{bmatrix} \delta_\rho \cos(\xi_{3,k}) \\ \delta_\rho \sin(\xi_{3,k}) \\ \delta_\theta \end{bmatrix}$$

puede reconstruirse la distancia
lineal desde las revoluciones de
la rueda



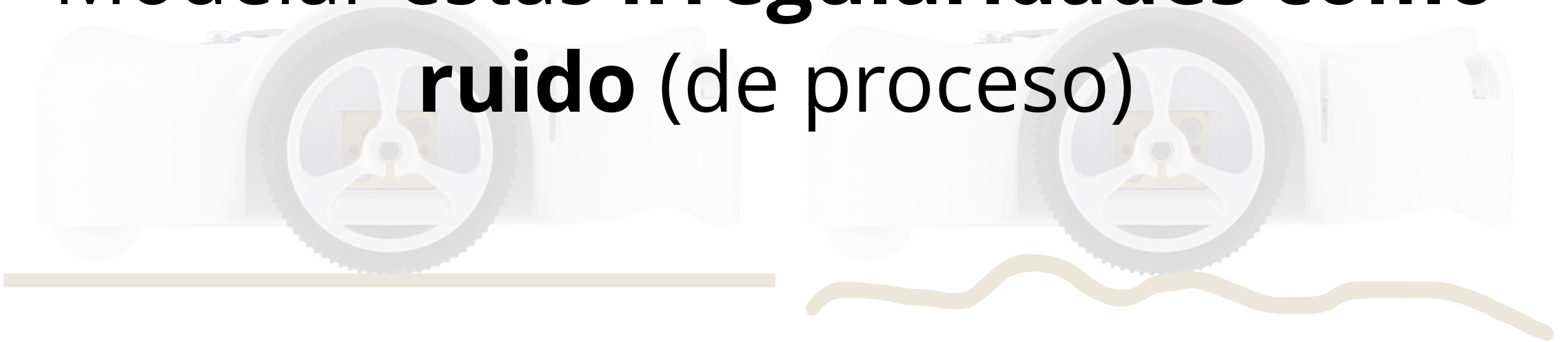
las irregularidades hacen que la
rueda presente más revoluciones
que las que debería



puede reconstruirse la distancia lineal desde las revoluciones de la rueda las irregularidades hacen que la rueda presente más revoluciones que las que debería

¿Solución?

Modelar estas **irregularidades como ruido (de proceso)**



$${}^N\boldsymbol{\xi}_{k+1} = \begin{bmatrix} \xi_{1,k} + (\delta_\rho + w_{\rho,k}) \cos(\xi_{3,k}) \\ \xi_{2,k} + (\delta_\rho + w_{\rho,k}) \sin(\xi_{3,k}) \\ \xi_{3,k} + \delta_\theta + w_{\theta,k} \end{bmatrix}$$

$$w_{\rho,k} \sim \mathcal{N}(0, \sigma_{w_\rho}^2) \qquad w_{\theta,k} \sim \mathcal{N}(0, \sigma_{w_\theta}^2)$$

$$\mathbf{x}_{k+1} = \mathcal{F}(\mathbf{x}_k, \mathbf{u}_k, \mathbf{w}_k) \quad (\text{EKF})$$

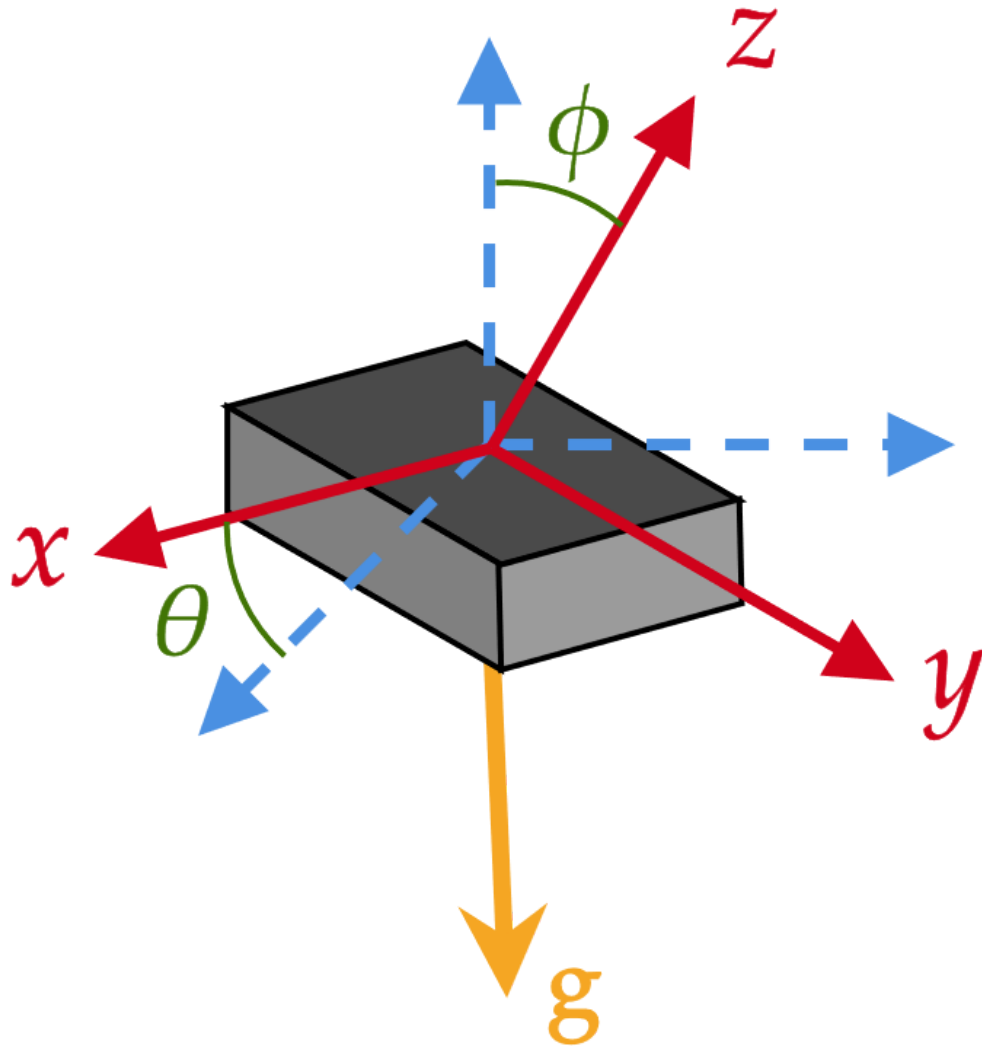
$$\mathbf{x}_{k+1} = \begin{bmatrix} \xi_{1,k} + (\delta_\rho + w_{\rho,k}) \cos(\xi_{3,k}) \\ \xi_{2,k} + (\delta_\rho + w_{\rho,k}) \sin(\xi_{3,k}) \\ \xi_{3,k} + \delta_\theta + w_{\theta,k} \end{bmatrix}$$

$$\begin{bmatrix} x_1 \\ x_2 \\ x_3 \end{bmatrix} = \begin{bmatrix} \xi_1 \\ \xi_2 \\ \xi_3 \end{bmatrix} \quad \begin{bmatrix} u_1 \\ u_2 \end{bmatrix} = \begin{bmatrix} \delta_\rho \\ \delta_\theta \end{bmatrix} \quad \begin{bmatrix} w_1 \\ w_2 \end{bmatrix} = \begin{bmatrix} w_\rho \\ w_\theta \end{bmatrix}$$

$$w_{\rho,k} \sim \mathcal{N}(0, \sigma_{w_\rho}^2)$$

$$w_{\theta,k} \sim \mathcal{N}(0, \sigma_{w_\theta}^2)$$

Estimando posición con acelerómetros



la **IMU** más simple
= 3 acelerómetros
+ 3 giroscopios

Estimando posición con acelerómetros

modelo considerado para un acelerómetro de tres ejes

$${}^S \mathbf{a} = {}^S \mathbf{R}_N \left({}^N \mathbf{a} - {}^N \mathbf{g} \right) + {}^S \mathbf{b}_a + {}^S \mathbf{n}_a$$

$${}^S \mathbf{n}_a \sim \mathcal{N}(\mathbf{0}, \mathbf{Q}_a) \quad \text{ruido de medición}$$

$${}^S \dot{\mathbf{b}}_a = {}^S \mathbf{b}_{ba} \sim \mathcal{N}(\mathbf{0}, \mathbf{Q}_a) \quad \text{bias o deriva}$$

Estimando posición con acelerómetros

claramente esta aceleración **NO puede sólo integrarse**

$${}^S \mathbf{a} = {}^S \mathbf{R}_N ({}^N \mathbf{a} - \mathbf{g}) + {}^S \mathbf{b}_a + {}^S \mathbf{n}_a$$

⇒ se emplea un **truco** para poder encontrar un "modelo de proceso" que genere las mediciones

$${}^S \mathbf{b}_a = {}^S \mathbf{b}_{ba} \sim \mathcal{N}(\mathbf{0}, \mathbf{Q}_0) \quad \text{bias o deriva}$$

$$\mathbf{q}(t) \triangleq \int_{t_0}^t \int_{t_0}^t (\mathbf{a}(\tau) d\tau) d\tau$$

$$\begin{bmatrix} {}^N \dot{\mathbf{q}} \\ {}^N \ddot{\mathbf{q}} \end{bmatrix} = \begin{bmatrix} \mathbf{0} & \mathbf{I} \\ \mathbf{0} & \mathbf{0} \end{bmatrix} + \begin{bmatrix} \mathbf{0} \\ \mathbf{I} \end{bmatrix} {}^N \mathbf{a}$$

$${}^N \mathbf{a} = {}^N \mathbf{R}_S ({}^S \mathbf{a} - {}^S \mathbf{b}_a) + {}^N \mathbf{g} - {}^N \mathbf{n}_a$$

$$\mathbf{q}(t) \triangleq \int_{t_0}^t \int_{t_0}^t (\mathbf{a}(\tau) d\tau) d\tau$$

$$\begin{bmatrix} {}^N \dot{\mathbf{q}} \\ {}^N \ddot{\mathbf{q}} \end{bmatrix} = \begin{bmatrix} \mathbf{0} & \mathbf{I} \\ \mathbf{0} & \mathbf{0} \end{bmatrix} + \begin{bmatrix} \mathbf{0} \\ \mathbf{I} \end{bmatrix} \boxed{{}^N \mathbf{a}} \quad \begin{array}{l} \text{mediciones} \\ \text{como} \\ \text{entrada} \end{array}$$

necesita la orientación

$${}^N \mathbf{a} = \boxed{{}^N \mathbf{R}_S} ({}^S \mathbf{a} - \boxed{{}^S \mathbf{b}_a}) + {}^N \mathbf{g} - \boxed{{}^N \mathbf{n}_a}$$

necesita el bias

${}^N \mathbf{w}_a$

$$\begin{bmatrix} {}^N\dot{\mathbf{q}} \\ {}^N\ddot{\mathbf{q}} \\ {}^S\dot{\mathbf{b}}_a \end{bmatrix} = \begin{bmatrix} \mathbf{0} & \mathbf{I} & \mathbf{0} \\ \mathbf{0} & \mathbf{0} & -{}^N\mathbf{R}_S \\ \mathbf{0} & \mathbf{0} & \mathbf{0} \end{bmatrix} \begin{bmatrix} {}^N\mathbf{q} \\ {}^N\dot{\mathbf{q}} \\ {}^S\mathbf{b}_{ba} \end{bmatrix} + \begin{bmatrix} \mathbf{0} & \mathbf{0} \\ {}^N\mathbf{R}_S & \mathbf{I} \\ \mathbf{0} & \mathbf{0} \end{bmatrix} \begin{bmatrix} {}^S\mathbf{a} \\ {}^N\mathbf{g} \end{bmatrix} + \begin{bmatrix} \mathbf{0} \\ {}^N\mathbf{w}_a \\ {}^S\mathbf{b}_{ba} \end{bmatrix}$$

+ discretización...

NOTA: debe considerarse el efecto que tiene la discretización sobre las varianzas de los procesos estocásticos (ver documento en Canvas)

Estimando orientación con giroscopios

modelo considerado para un giroscopio de tres ejes

$$\boldsymbol{\omega}_g = \begin{bmatrix} \omega_x \\ \omega_y \\ \omega_z \end{bmatrix} = {}^S \boldsymbol{\omega}_{NS} + {}^S \mathbf{b}_g + {}^S \dot{\mathbf{b}}_g$$

$${}^S \mathbf{n}_g \sim \mathcal{N}(\mathbf{0}, \mathbf{Q}_g)$$

ruido de medición

$${}^S \dot{\mathbf{b}}_g = {}^S \mathbf{b}_{bg} \sim \mathcal{N}(\mathbf{0}, \mathbf{Q}_g)$$

bias o deriva

$${}^S \dot{\boldsymbol{\theta}}_{NS} \triangleq {}^S \boldsymbol{\omega}_{NS} = \boldsymbol{\omega}_g - {}^S \mathbf{b}_g - {}^S \mathbf{n}_g$$

w

$$\begin{bmatrix} {}^S \dot{\boldsymbol{\theta}}_{NS} \\ {}^S \dot{\mathbf{b}}_g \end{bmatrix} = \begin{bmatrix} \mathbf{0} & -\mathbf{I} \\ \mathbf{0} & \mathbf{0} \end{bmatrix} \begin{bmatrix} {}^S \boldsymbol{\theta}_{NS} \\ {}^S \mathbf{b}_{bg} \end{bmatrix} + \begin{bmatrix} \mathbf{I} \\ \mathbf{0} \end{bmatrix} \boldsymbol{\omega}_g + \begin{bmatrix} -{}^S \mathbf{n}_g \\ {}^S \mathbf{b}_{bg} \end{bmatrix}$$

+ discretización...

$$\begin{matrix} \nearrow \\ S \dot{\boldsymbol{\theta}}_{NS} \triangleq S \boldsymbol{\omega}_{NS} = \boldsymbol{\omega}_g - S \mathbf{b}_g - S \mathbf{n}_g \end{matrix}$$

$$\begin{matrix} \nearrow \\ \begin{bmatrix} S \dot{\boldsymbol{\theta}}_{NS} \\ S \dot{\mathbf{b}}_g \end{bmatrix} = \begin{bmatrix} \mathbf{0} & -\mathbf{I} \\ \mathbf{0} & \mathbf{0} \end{bmatrix} \begin{matrix} \nearrow \\ \begin{bmatrix} S \boldsymbol{\theta}_{NS} \\ S \mathbf{b}_{bg} \end{bmatrix} \end{matrix} + \begin{bmatrix} \mathbf{I} \\ \mathbf{0} \end{bmatrix} \boldsymbol{\omega}_g + \begin{matrix} \mathbf{w} \\ \begin{bmatrix} -S \mathbf{n}_g \\ S \mathbf{b}_{bg} \end{bmatrix} \end{matrix}$$

cuidado, depende de la representación
empleada para la orientación
+ discretización...

$s \dot{\theta}_{NS} \triangleq s \omega_{NS} = \omega_g - s \mathbf{b}_g - s \mathbf{n}_g$
esto funciona sin problemas, pero la
tendencia actual es emplear un
algoritmo de optimización llamado
filtro de Madgwick para estimar la
orientación

+ discretización...

¿Por qué no podemos quedarnos sólo
con estas mediciones?

https://www.youtube.com/embed/_q_8d0E3tDk

<https://www.youtube.com/embed/fzjEMOObuFA>

se necesita hacer **corrección** empleando
sensores exteroceptivos